

KAWASAKI STEEL GIHO

Vol.17 (1985) No.1

Cr-Mo

Hydrogen Attack in Cr-Mo Steels and Disbonding of Austenitic Stainless Weld Overlay

(Takuichi Imanaka)

(Jun-ichi Shimomura)

(Shozaburo Nakano)

(Koichi Yasuda)

:

Cr-Mo

Cr V

Si S

kinetics

Si

Synopsis :

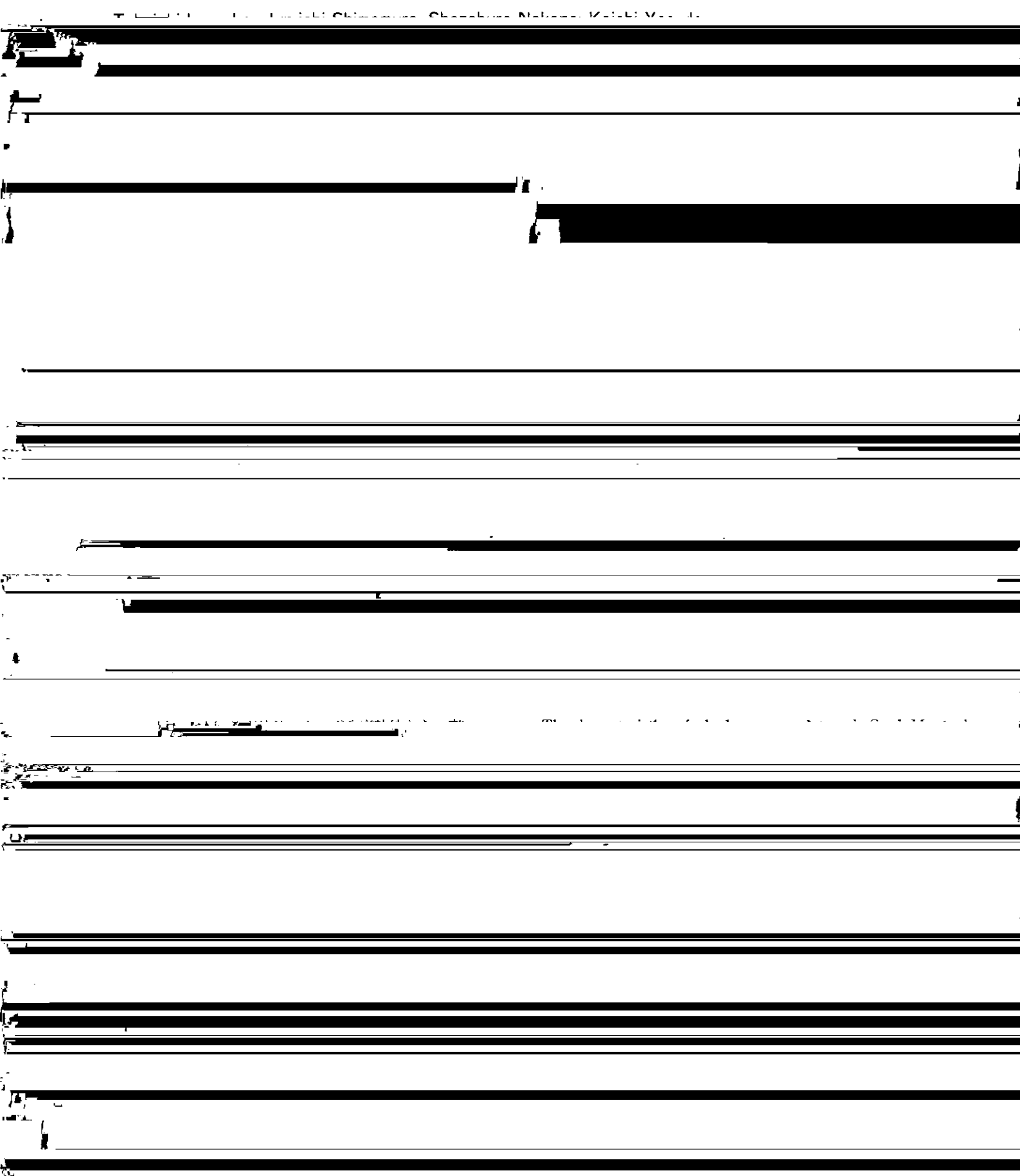
The characteristics of a hydrogen attack on 2 1/4 Cr-1 Mo steels were studied. Resistance to the hydrogen attack increases drastically with a slight increment of chromium content of around 2.25 wt %. Addition of vanadium up to 0.15 wt % and lowering silicon content to a level less than 0.15 wt % in 2 1/4 Cr-1 Mo steels improve dramatically the resistance to hydrogen attack. These improvements in the hydrogen attack can be interpreted tentatively in terms of variation in the chemistry and thermodynamical properties of carbi

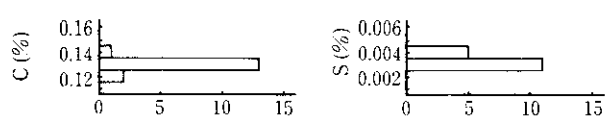
Cr-Mo鋼の水素侵食とオーバレイ剥離現象^{*1}

川崎製鉄技報
17 (1985) 1, 84-92

今中 拓一^{*2} 下村 順一^{*3} 中野 昭三郎^{*4} 安田 功一^{*5}

Hydrogen Attack in Cr-Mo Steels and Disbonding of Austenitic Stainless Weld Overlay

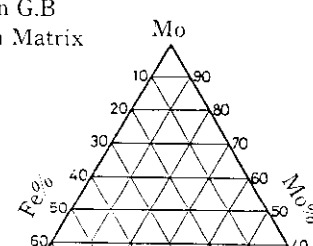
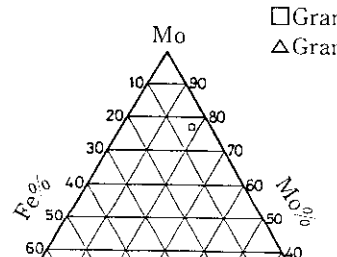
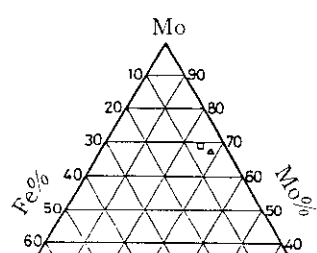




グ)によるじん性-脆性遷移温度の変化をP含有量に対してプロットしてある。Si量によってPによる焼戻し感受性は高められること、しかしながら含有P量が約0.002wt%以下になると

が 2.45 wt% 以上になると著しい。尚、図中に示した SEM 像は、先剛の試験片についての破面観察結果で、吸収エネルギー

る変化が著しく、銅中の Cr 量が少なくなると M_3C 型炭化物の生成量が減少する。



では $\sigma = 1.1 \times 10^2 h \cdot k \mu^{-3} \cdot m^{2/3}$ Si = 0.30 ~ 0.60 wt% では $C =$

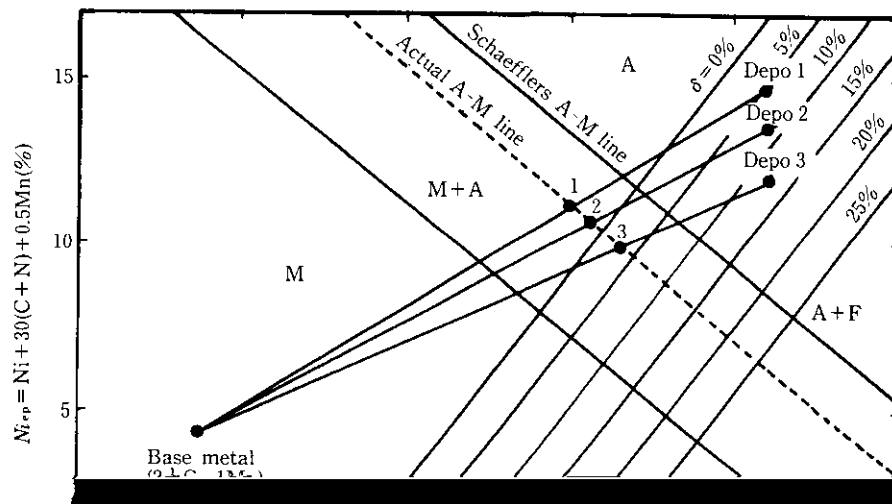
200

になる。高温高圧水素雰囲気下での鋼材の劣化は、基本的には [I]の反応により起こる。



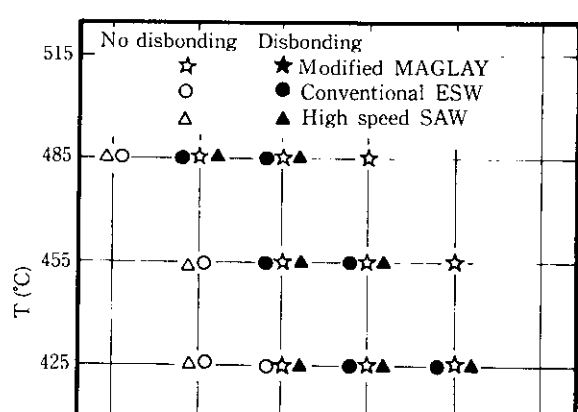
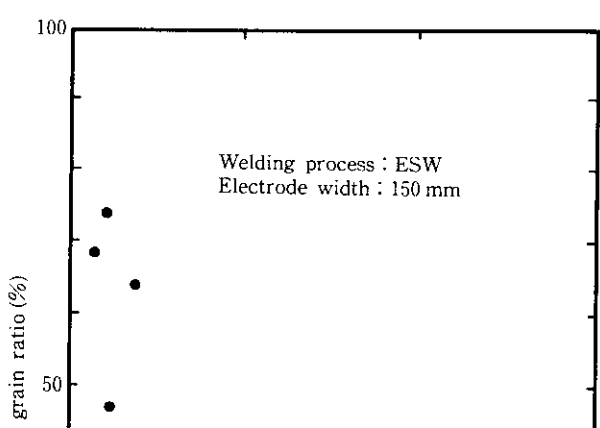
エネルギーである。 $4G_{Cr,C}$ は

で与えられている。理論的には導出された炭化物 Cr_3C に関する



$$Cr_{eq} = Cr + Mo + 1.5Si + 0.5Nb (\%)$$

Fig. 9 Transition of microstructure from base metal to weld metal in the Delong's and Schaeffler's diagram



は高速 SAW 法 (図中記号○印) および通常 ESW 法 (図中記号△印) による溶接全層の特性を示してある (21) 図に

く従来の $2\frac{1}{4}$ Cr-1 Mo 鋼の特性を向上するための研究を企画しており、その流れの中で述べた炭化物形成元素の利用等が

において白抜きの記号は剥離割れが起こらないことを、黒印は剥離割れが観察されたことを意味している。この結果は、Si およ

び Mn の添加量によって異なるが、Si の添加量が増すにつれて高強度化は、じん性や SR 割れ感受性を損う傾向にあり、これ